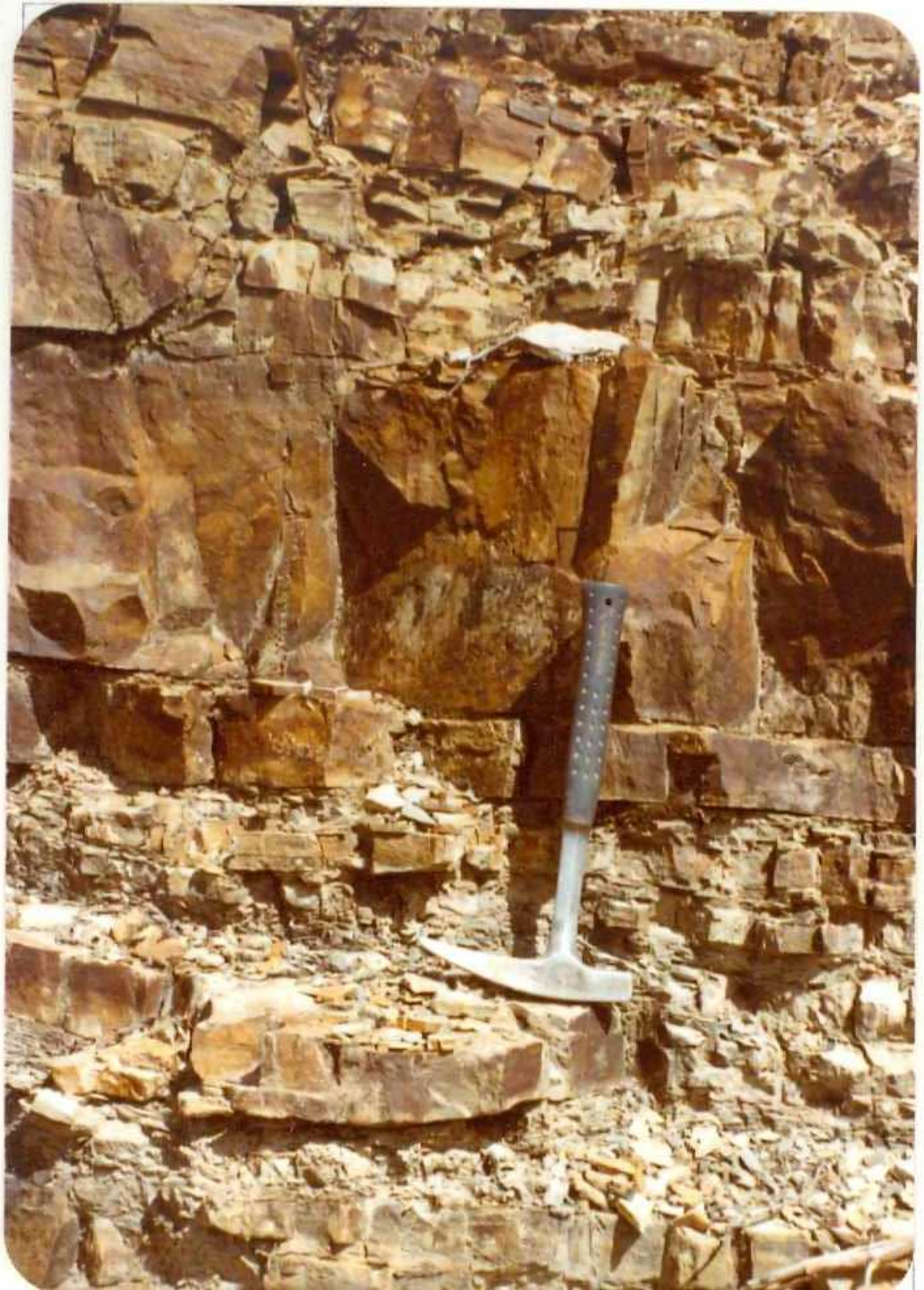


LB1112. Vista parcial de las areniscas y cuarcitas, con finas pasadas pizarrosas, del Ordovicico inferior. (O_{12}).



LB 1113. Detalle de organismos perforantes (Scolytus), en una arenisca del Ordovicico inferior - (O_{12}).



LB 1114. Vista parcial de bancos de cuarcita del - Ordovicico inferior (Os_{12}).



LB 1115. Detalle de las cuarcitas de la fotografía anterior (Os_{12}).



LB1116. Detalle de cuarcitas con finas intercalaciones pizarrosas del Ordovicico inferior -- (Op_{12}).



LB 1117. Panoramica de diversos tramos del Ordovicico inferior, en la sierra del Pobo.

1.- Cuarcitas y areniscas (Os_{12}).
2.- Esquistos y cuarcitas (Op_{12}).
3.- Cuarcitas (Oq_{12}).



LB 1118. Detalle de las cuarcitas del tramo superior del Skidawiense (Oq_{12}).



LB 1119. Detalle de la unidad de esquistos y grauvacas del Ordovícico medio en la sierra del Pobo (O_{21-22}).



LB 1120. Vista parcial de bancos de cuarcita pertenecientes al Ordovicico superior. Los tramos blandos corresponden a niveles de arenisca y pizarras (O_{31-32}).



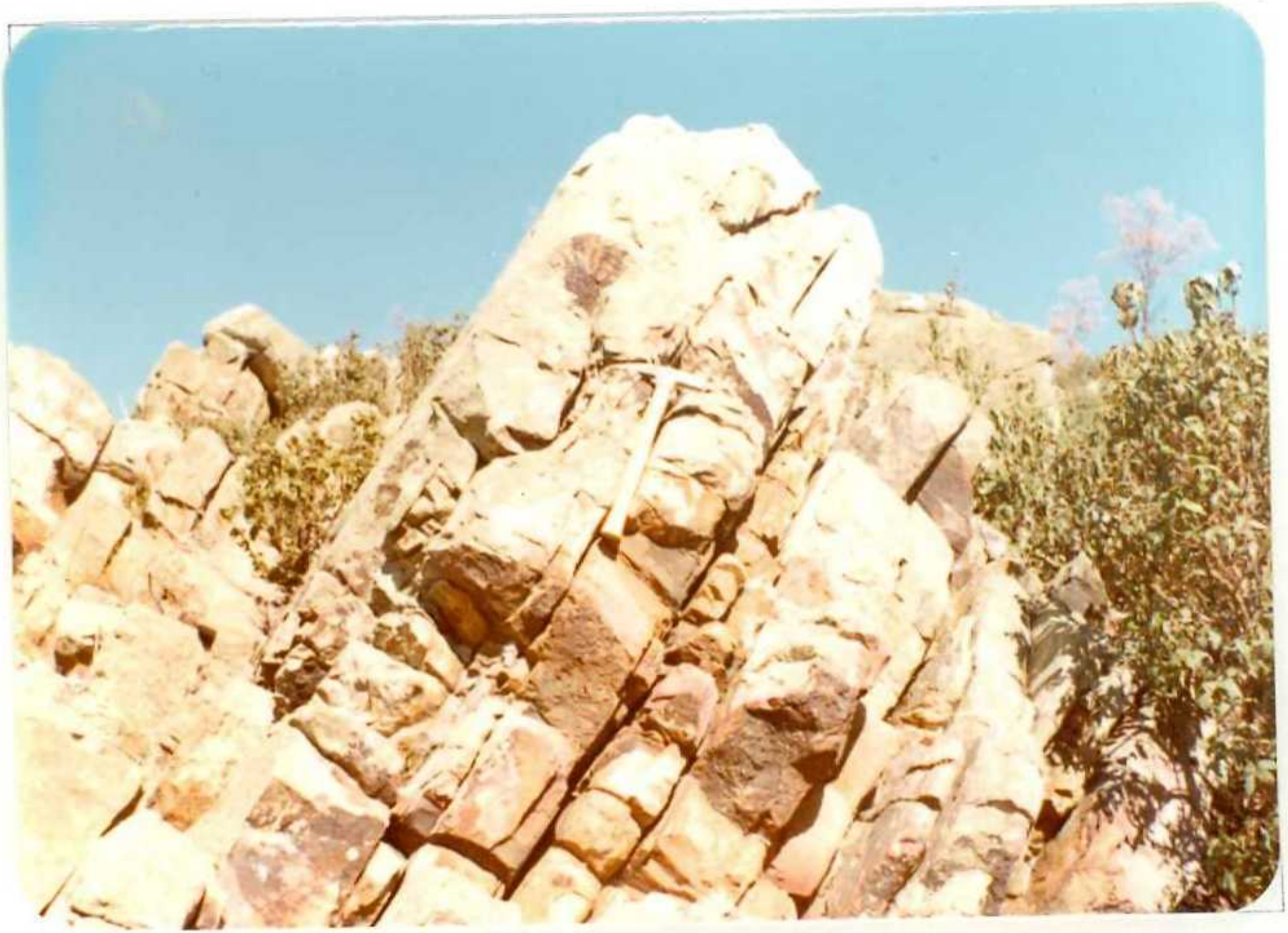
LB 1121. Panoramica del tramo carbonatado del Ordovicico superior (Oc_{31-32}). Al fondo las cuarcitas del Llandoveryense (SA_1).



LB 1122. Detalle de las calizas del Ordovicico superior, representadas en la fotografía anterior, en la Sierra de El Pobo ($O_{c_{31-32}}$)



LB 1123. Antigua explotación del tramo carbonatado del Ordovicico superior, en la Sierra del Pobo - (Oc_{31-32}).



LB 1124. Vista parcial de las cuarcitas del Silurico inferior (Llandoveryense) (S_1^A)



LB 1125. Detalle de las pizarras ampelíticas del - Silurico superior (S_{1-2}^{A-B}) (Wenlokiense-Ludlowiense).



LB 1126. Detalle de los "bolos areniscosos" muy - frecuentes en la parte inferior de la unidad de - pizarras ampelíticas (S_{1-2}^{A-B}).



LB 1127. Panoramica de la unidad de pizarras ampeliticas (1) (S^{A-B}_{1-2}) bajo los conglomerados del -- Triásico inferior (2), en facies Buntsandstein -- (T_{G1}), al norte de la localidad de El Pobo de Dueñas.



LB 1128. Detalle de un nivel de conglomerados ferruginosos del Pérmico inferior (P_1), al norte de la localidad de El Pobo de Dueñas.



LB 1129. Panorámica del afloramiento de conglomerados pérmicos (P_1) de la fotografía anterior. Al fondo (1) las cuarcitas del Silurico inferior -- (S_1^A).



LB 1130. Vista parcial de diversos niveles de conglomerados del Triasico inferior, en facies Buntsandstein (T_{G1}).



LB 1131. Detalle de los conglomerados triásicos de la fotografía anterior.



LB 1132. Panorámica del Triásico inferior en facies Buntsandstein al norte de la localidad de Hombrados.

1.- Conglomerados (T_{G1}).
2.- Areniscas y arcillas rojas (Ts_{G1}).



LB 1133. Vista general de depósitos triásicos en - Castelar de la Muela.

1.- Areniscas y arcillas (Ts_{G1}).

2.- Arcillas vinosas y areniscas (Ta_{G1}).

3.- Dolomias (Td_{G2}).

En primer término depósitos pliocenos (T_2^B).



LB 1134. Panorámica de depósitos triásicos y permi cos, en el Alto del Molar, en la zona centro -- oriental de la hoja.

1.- Permico (P_1).

2.- Conglomerados (T_{G1}).

3.- Areniscas y arcillas rojas (Ts_{G1}).

4.- Dolomías (Td_{G1}).



LB 1135. Vista parcial de depósitos tríasicos en la localidad de Castelar de Muela. En primer término depositos pliocenos (T_2^B).

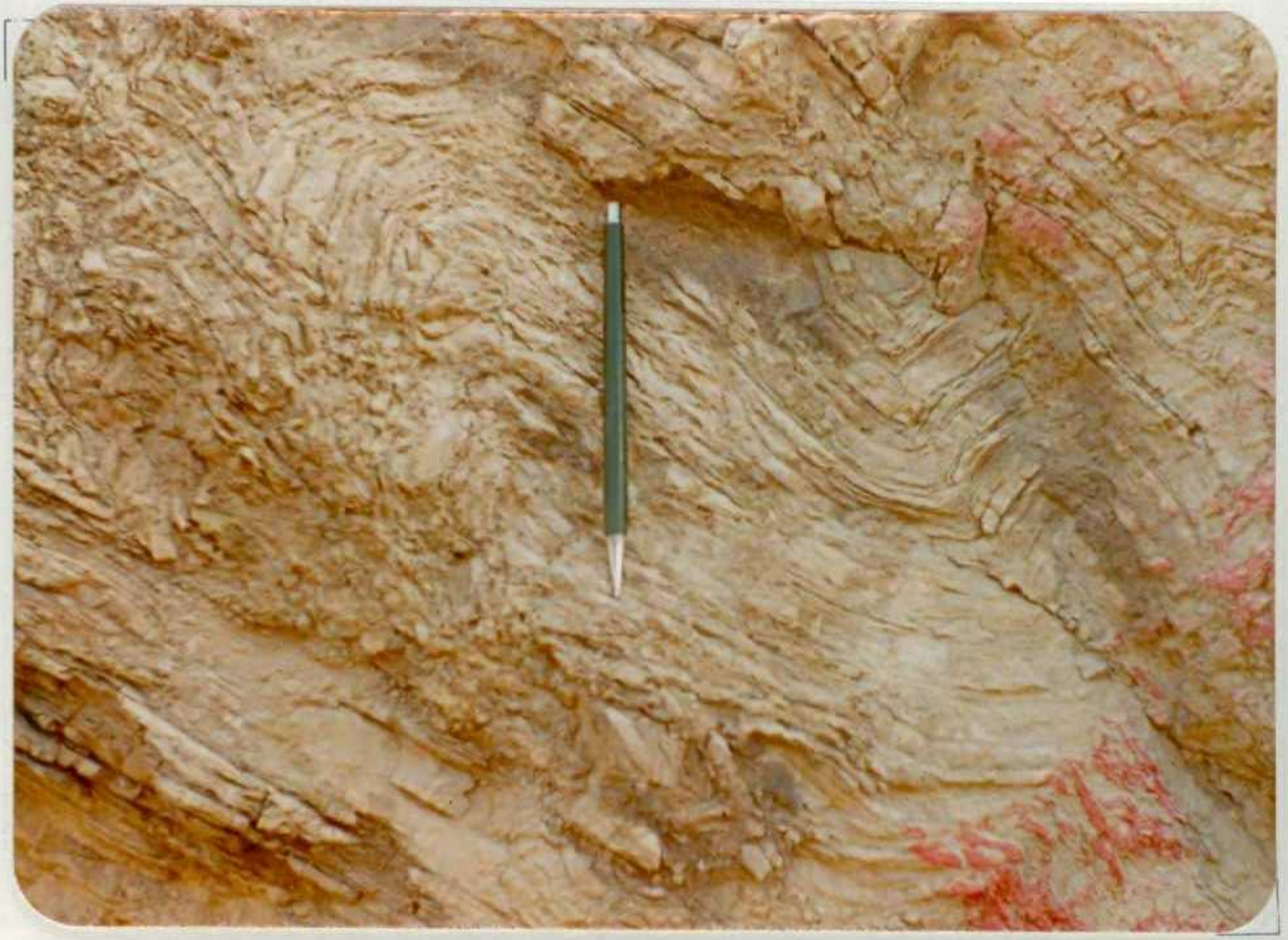
1.- Arcillas vinosas y areniscas (Ta_{G1}).
2.- Arcillas versicolores, areniscas y dolomias tableadas (T_{G2}).
3.- Dolomías (Td_{G2}).



LB 1136. Vista parcial del tramo dolomítico en facies Muschelkalk (Td_{G2}).



LB 1137. Detalle del tramo dolomítico margoso en - facies Muschelkalk (Tm_{G2})



LB 1138. Estructuras de "Slumps" en el tramo dolomítico margoso, en facies Muschelkalk (Tm_{G2}). en las proximidades de Castelar de Muela.



LB 1139. Vista parcial del tramo dolomítico del - Triásico medio (Td_{G2}), en la carretera de Alcolea a Teruel.



LB 1140. Vista parcial de yesos blancos y fibrosos intercalados en las facies Keuper, al SE de la localidad de Morenilla.



LB 1141. Panorámica de la unidad de carniolas - del transito Triásico-Jurásico (T_{G3}-J_1), en el río Gallo.



LB 1142. Vista parcial del techo de la unidad de - calizas y dolomías del Lias (J^{0-2}_{1-13}). Observese el típico tableado que presenta.



LB 1143. Detalle de las calizas de la unidad triasica J^{0-2}_{1-13}. La fotografía corresponde a un nivel del tramo medio de la unidad.



LB 1144. Vista parcial de las calizas y dolomías - liasicas (J^{0-2}_{1-13}), en el río Gallo. En primer término depósitos pliocenos (T^{B}_{2})



LB 1145. Vista parcial de las calizas bioclásticas del Pleinsbachiense(J_{13}^{2-3}), en las proximidades de Anquela del Pedregal.



LB 1146. Detalle de las calizas bioclásticas del Pleinsbachiense(J_{13}^{2-3}), en el afloramiento de la fotografía anterior.



LB 1147. Vista parcial de depósitos júrasicos, - al SO de Anquela del Pedregal.

1.- Calizas bioclásticas (J^{2-3}_{13}).

2.- Alternancia de calizas y margas (J^{3-3}_{3-14}).

3.- Calizas (J^{3-2}_{14-31}).



LB 1148. Típico afloramiento de las calizas del - Toarciense superior - Dogger (J^{3-2}_{14-31}), en las - proximidades de Tordellego. La base de esta uni - dad, y su contacto con la inferior, aparece cu - bierto por derrubios de ladera (Q_{1-2} L).



LB 1149. Vista parcial de depósitos del Dogger superior y del Malm.

1.- Tramo superior de las calizas de la unidad - (J^{3-2}_{14-31}).
2.- Margas y calizas (J^{2-1}_{31-32}).
3.- Calizas oolíticas (J^{1-3}_{32}).



LB 1150. Vista parcial del techo de la unidad cartográfica J^{3-2}_{14-31}; al sur de la hoja.



LB 1151. Detalle de la fotografia anterior. Obsérvese la profusión de fauna existente en el mismo techo de la unidad.



LB 1152. Vista parcial de los niveles superiores del Jurásico, al borde de la carretera de Alcolea a Teruel.

1.- Margas con intercalaciones cálcareas (J^{2-1}_{31-32}).
2.- Calizas oolíticas (J^{1-3}_{32}).



LB 1153. Detalle de la unidad de margas y calizas (J^{21}_{31-32}) representada en la fotografia anterior.



LB 1154. Vista parcial de un banco de calizas oolítica (J_{32}^{1-3}), en un afloramiento al sur de la hoja.



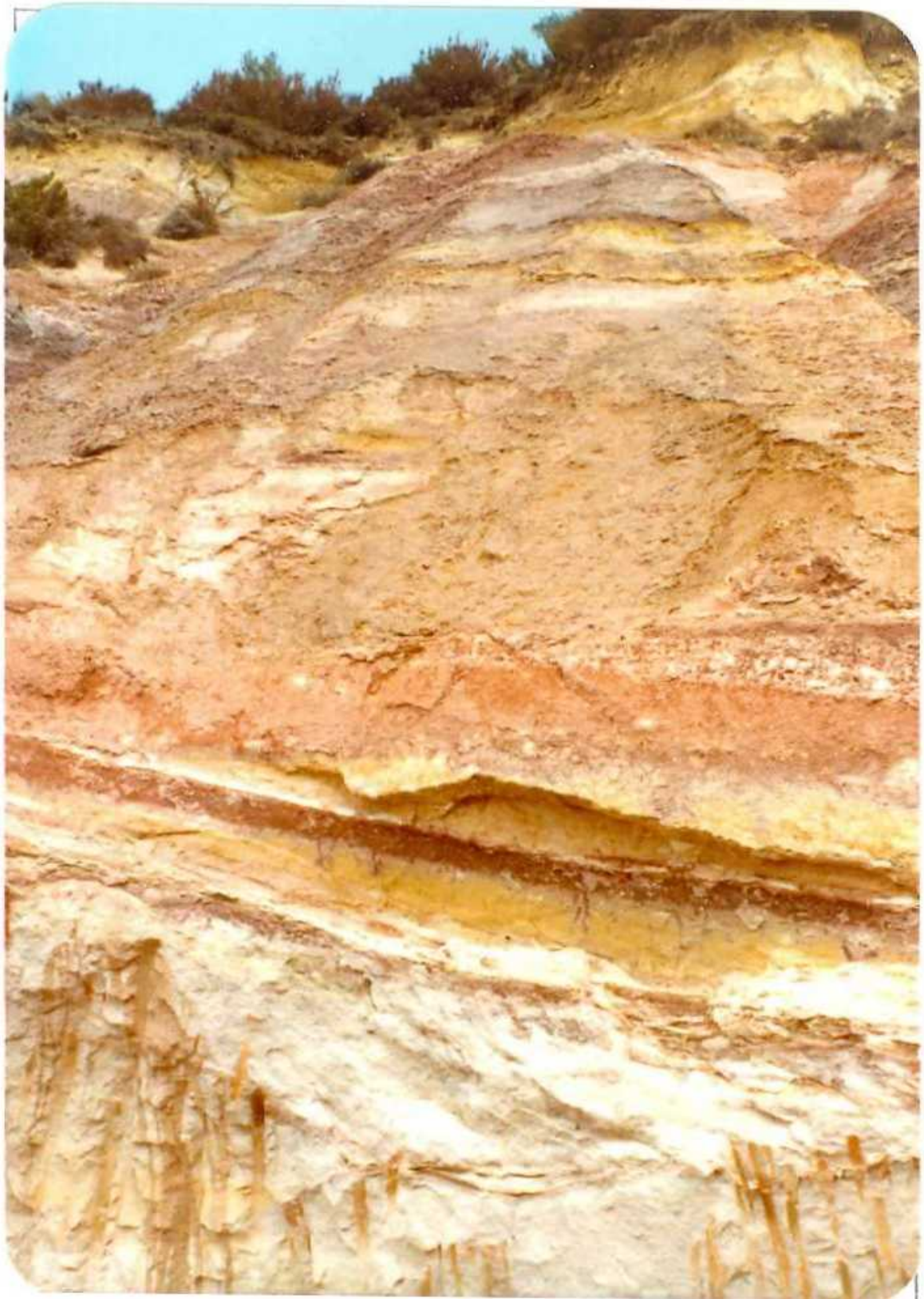
LB 1155. Detalle de las calizas oolíticas de la fotografía anterior (J_{32}^{1-3}).



LB 1156. Aspecto de los depositos detríticos en - facies Weald (1) (C_{W14}) sobre las calizas oolíticas del Kimmeridgiense (2) (J_{32}^{1-3}), al sur de la hoja.



LB 1157. Aspecto de un banco calcareo perteneciente a las facies --- Weald (D_{w14})



LB 1158. Aspecto parcial de arenas en Facies -- Utrillas, al sur de la hoja.



LB 1159. Aspecto parcial de las unidades cretacicas.

1.- Arenas en Facies Utrillas (C^{0-1}_{16-21}).

2.- Margas y calizas con fauna (C^{2-3}_{21}).

3.- Dolomías, dolomías margosas y calizas (C^{3-2}_{21-22}).

4.- Calizas nodulosa con fauna (C^{2-3}_{22}).

5.- Dolomías y calizas (C_{23-26}).



LB 1160. Aspecto parcial de las calizas y dolomias del Cretácico superior (C^{3}_{21-26}), en las proximidades de la carretera Alcolea-Teruel.



LB 1161. Aspecto parcial de tramos carstificados del Cretácico superior (C^{3}_{21-26}).



LB 1162. Aspecto de un nivel de conglomerados calcareos del Mioceno (T_{c1}^{Ba-Bc}), en las proximidades de la carretera de Tordellego a Piqueras, al sur de la hoja.



LB 1163. Detalle de los conglomerados miocenos de la fotografía anterior.



LB 1164. Aspecto parcial de las arcillas rojas con cantos cuarcíticos del Plioceno (T_2^B), al norte de Prados Redondos.